

# Szczególina teoria względnosci

prof. dr hab. Aleksander Filip Żarnecki  
Zakład Cząstek i Oddziaływań Fundamentalnych  
Instytut Fizyki Doświadczalnej

## Wykład VI:

- energia progowa
- foton
- rozpraszanie Comptona
- efekt Doplera

# Zderzenia relatywistyczne

## Zderzenia elastyczne $2 \rightarrow 2$

Cząstki rozproszone takie same jak cząstki zderzające się.

W szczególności:  $m'_1 = m_1$  i  $m'_2 = m_2$

W zderzeniach cząstek wysokiej energii jest to jednak wyjątek (!)

## Zderzenia nieelastyczne

W oddziaływaniach cząstek elementarnych, zwłaszcza przy wysokiej energii, obserwujemy bardzo wiele reakcji, w których powstają nowe cząstki:

- Rozpady cząstek:  $a \rightarrow b + c$
- Produkcja pojedynczej cząstki (tzw. “rezonansu”):  $a + b \rightarrow c$
- Rozproszenie nieelastyczne dwóch cząstek:  $a + b \rightarrow c + d$   
jedna z cząstek na końcu może być cząstką stanu początkowego
- Produkcja wielu cząstek:  $a + b \rightarrow X$   
gdzie  $X$  oznacza dowolny stan wielocząstkowy

# Zderzenia relatywistyczne

## Energia dostępna

w układzie środka masy jest równa masie niezmienniczej zderzających się cząstek  $\sqrt{s}$ .

**Energia dostępna** jest to część energii kinetycznej, która może zostać zamieniona na masę (energię spoczynkową) nowych cząstek.

Określoną wartość energii dostępnej możemy uzyskać na różne sposoby:

## Zderzenia z tarczą

Cząstka “pocisk” o energii  $E$  uderza w nieruchomą tarczę:

$$s = 2 E_1 m_2 + m_1^2 + m_2^2$$

w granicy  $E_1 \gg m_1 \sim m_2$

$$s \approx 2 E_1 m_2$$

## Wiązki przeciwbieżne

Zderzenia wiązek o energiach  $E_1$  i  $E_2$ :

$$s = 2 E_1 E_2 + 2 p_1 p_2 + m_1^2 + m_2^2$$

w granicy  $E_1 \sim E_2 \gg m_1 \sim m_2$

$$s \approx 4 E_1 E_2$$

**Dużo wyższe wartości !!!**

# Energia progowa

## Zderzenia z tarczą

Minimalna energia wiązki  $E_{min}$  przy której możliwa jest dana reakcja.

Minimalna masa niezmiennicza:

$$s_{min} = \left( \sum_i m_i \right)^2$$

W zderzeniach z nieruchomą tarczą:

$$s_{min} = 2 E_{min} m_2 + m_1^2 + m_2^2$$

⇒ minimalna energia całkowita pocisku:

$$E_{min} = \frac{s_{min} - (m_1^2 + m_2^2)}{2 m_2} = \frac{(\sum_i m_i)^2 - (m_1^2 + m_2^2)}{2 m_2}$$

⇒ minimalna energia kinetyczna pocisku:

$$E_{k,min} = E_{min} - E_0 = \frac{(\sum_i m_i)^2 - (m_1 + m_2)^2}{2 m_2}$$

# Energia progowa

## Zderzenia z tarczą

Związek minimalnej energii kinetycznej pocisku z przyrostem masy:

$$2 m_2 E_{k,min} = \left( \sum_i m_i \right)_{\text{końcowe}}^2 - \left( \sum_i m_i \right)_{\text{początkowe}}^2$$

⇒ energia kinetyczna pocisku jest “zużywana” na zwiększenie masy układu...

## Przykład 1

Produkcja anty-protonów w reakcji  $pp \rightarrow ppp\bar{p}$        $\sum_i m_i = 4m_p$        $\Delta M = 2m_p$

$$E_{min} = \frac{(4 m_p)^2 - (m_p^2 + m_p^2)}{2 m_p} = 7 m_p$$

$$E_{k,min} = E_{min} - m_p = 6 m_p \approx 5.63 \text{ GeV}$$

# Energia progowa

## Wiązki przeciwbieżne

Dla wiązek przeciwbieżnych: dla uproszczenia przyjmujemy  $E_1 = E_2, m_1 = m_2$

$$s_{min} \approx 4 E_1 E_2 = 4 E_{min}^2$$

$$E_{min} = \frac{1}{2} \sqrt{s_{min}} = \frac{1}{2} \sqrt{\left(\sum_i m_i\right)^2} = \frac{1}{2} \sum_i m_i$$

$$E_{k,min} = \frac{1}{2} \left[ \left(\sum_i m_i\right)_{końcowe} - \left(\sum_i m_i\right)_{początkowe} \right]$$

⇒ energia rośnie liniowo z masą produkowanego stanu (na tarczy: kwadratowo)

⇒ dużo niższe energie potrzebne do wytworzenia tego samego stanu

## Przykład 1 (c.d.)

Produkcja anty-protonów w reakcji  $p p \rightarrow p p p \bar{p}$   $\sum_i m_i = 4 m_p$

$$E_{k,min} = \frac{1}{2} [4m_p - 2m_p] = m_p \approx 0.94 \text{ GeV} \quad \text{na tarczy: } 5.63 \text{ GeV}$$

# Energia progowa

## Wiązki przeciwbieżne

### Przykład 2

Produkcja par bozonów  $W^+W^-$  w zderzeniach elektron-pozyton:  $e^+ e^- \rightarrow W^+ W^-$

Gdybyśmy chcieli użyć pojedynczej wiązki pozytonów i tarczy  $\sum_i m_i = 2 m_W$

$$E_{min} = \frac{(2 m_W)^2 - (m_e^2 + m_e^2)}{2 m_e} \approx \frac{2 m_W^2}{m_e} \approx 25\,300\,000 \text{ GeV}$$

$$m_W = 80.4 \text{ GeV} \quad m_e = 0.000511 \text{ GeV}$$

Tak ogromnych energii nie jesteśmy w stanie wytworzyć !

Dotychczas wiązki pozytonów  $E \approx 100 \text{ GeV}$ , projektowane  $E \approx 1000 - 5000 \text{ GeV}$ ...

Dla przeciwbieżnych wiązek elektron-pozyton:  $s \approx 4 E^2$

$$E_{min} = \frac{1}{2} \sqrt{s_{min}} = \frac{1}{2} \sqrt{\left(\sum_i m_i\right)^2} = \frac{1}{2} \sum_i m_i = m_W \approx 80 \text{ GeV}$$

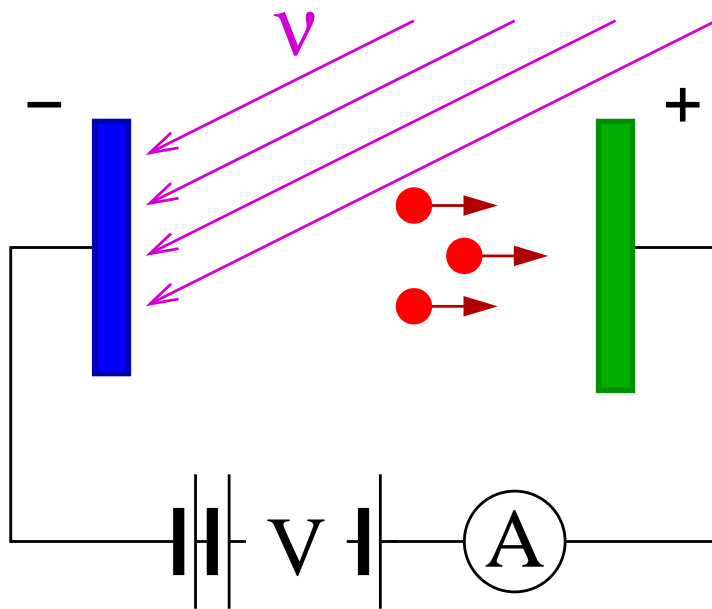
Takie energie to już nie problem...

# Odkrycie fotonu

## Zjawisko fotoelektryczne

Odkryte przypadkowo przez Hertza w 1887 r.

Światło padając na metalową płytkę powoduje uwalnianie elektronów  $\Rightarrow$  przepływ prądu.



Doświadczenia wskazały, że energia uwolnionych elektronów zależy wyłącznie od **częstości światła** (długości fali) i **materiału katody**.

Opis falowy przewidywał, że prąd zależy wyłącznie od natężenia światła, a nie zależy od częstości!

Zjawisko fotoelektryczne wyjaśnił **Einstein (1905)** wprowadzając kwanty światła

**FOTONY**

**Energia foto-elektronów:**

$$E_e = E_\gamma - W = h\nu - W$$

$W$  - “praca wyjścia”, minimalna energia potrzebna do uwolnienia elektronu z metalu.



# Odkrycie fotonu

## Natura światła

Fotony to **kwanty** promieniowania elektromagnetycznego.  
Przenoszą **oddziaływania** między cząstkami naładowanymi.

Mają naturę **korpuskularno-falową**:

- **fala** elektromagnetyczna, opisana równaniami Maxwella

$$c = \frac{1}{\sqrt{\epsilon_0 \mu_0}}$$

podlega interferencji, dyfrakcji, załamaniu

- **cząstka** o ustalonej energii i pędzie, ale zerowej masie

$$m_\gamma \equiv 0 \Leftrightarrow \beta \equiv 1$$

może zderzać się z innymi cząstkami, być pochłaniana lub rozpraszana

Im **wyższa częstość** (mniejsza długość fali) promieniowania,

tym **wyższa energia** pojedynczego fotonu  $\Rightarrow$  **wyraźniejsze efekty korpuskularne**

$$E_\gamma = p_\gamma c = h\nu = \frac{hc}{\lambda} \quad \lambda \cdot \nu = c$$

W zjawisku fotoelektrycznym, foton “zderza się” z elektronem,  $\gamma + e^- \rightarrow e^-$

(proces typu  $2 \rightarrow 1$ ), i przekazuje mu energię konieczną do opuszczenia metalu.

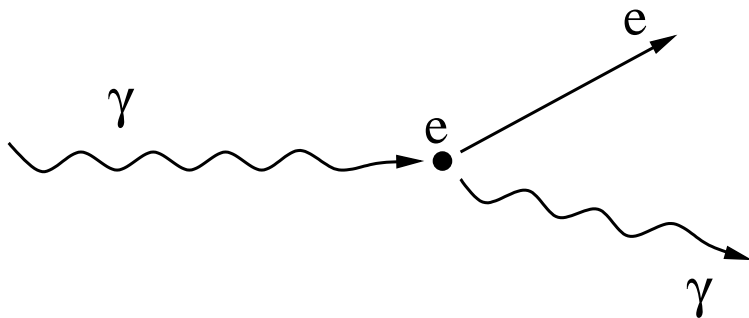
# Efekt Comptona

## Rozpraszanie fotonów

W wyniku rozpraszania w materii, promieniowanie X stawało się mniej przenikliwe  $\Rightarrow$  zmieniało długości fali

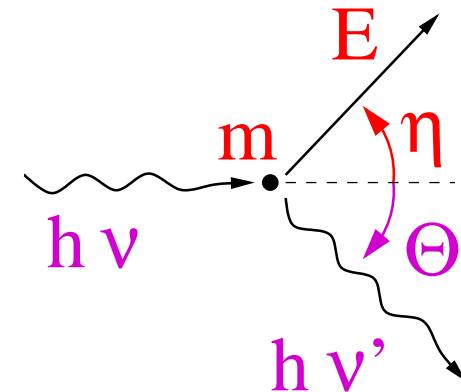
Opis tego zjawiska zaproponował w 1923 roku A.H.Compton.

Fotony promieniowania X rozpraszają się na elektronach w atomie



oddając im część swojej energii.

Relatywistyczne zderzenie dwóch ciał tak samo jak w przypadku cząstek



Zasady zachowania:

$$E : h\nu + m = h\nu' + E$$

$$p_{\parallel} : h\nu = h\nu' \cos \theta + p \cos \eta$$

$$p_{\perp} : 0 = h\nu' \sin \theta - p \sin \eta$$

# Efekt Comptona

Przekształcając otrzymujemy:

$$\begin{aligned}E &= h(\nu - \nu') + m c^2 \\p \cos \eta &= h(\nu - \nu' \cos \theta) \\p \sin \eta &= h\nu' \sin \theta\end{aligned}$$

Podnosząc stronami do kwadratu i zestawiając do masy elektronu:

$$\begin{aligned}m^2 c^4 &= E^2 - p^2 c^2 \\&= (h(\nu - \nu') + m c^2)^2 - h^2 (\nu - \nu' \cos \theta)^2 c^2 - (h\nu' \sin \theta)^2 c^2 \\&= m^2 c^4 + h^2 \nu^2 c^2 + h^2 \nu'^2 c^2 - 2h^2 \nu \nu' c^2 + 2m h c^3 (\nu - \nu') \\&\quad - h^2 \nu^2 c^2 + 2h^2 \nu \nu' c^2 \cos \theta - h^2 \nu'^2 c^2 \cos^2 \theta - h^2 \nu'^2 c^2 \sin^2 \theta\end{aligned}$$

$$\Rightarrow m h \nu c^2 = h\nu' (m c^2 + h\nu(1 - \cos \theta))$$

$$h\nu' = \frac{h\nu}{1 + \frac{h\nu}{m c^2}(1 - \cos \theta)}$$

$$\lambda' = \lambda + \frac{h}{m c}(1 - \cos \theta)$$

$$\frac{h}{m c} = 2.43 \cdot 10^{-12} \text{ m} = 2.43 \text{ pm}$$

# Efekt Comptona

## Małe energie fotonów

W granicy małych energii fotonu  $h\nu \ll m$

$$h\nu' = h\nu \frac{m}{m + h\nu(1 - \cos\theta)} \approx h\nu$$

⇒ foton rozprasza się bez straty energii.

Odpowiada to klasycznemu zderzeniu “pocisku”,  $m_1$ , z dużo cięższą “tarczą”,  $m_2 \gg m_1$ .

Foton zachowuje energię, ale **zmienia się wektor pędu** (kierunek !)

Przykład: odbicie światła widzialnego  
 $h\nu = 1.8 - 3.1 eV$  (700 nm - 400 nm)

Energia rozproszonego elektronu:

$$\begin{aligned} E &= h\nu - h\nu' + m \\ &= \frac{h\nu(h\nu + m)(1 - \cos\theta) + m^2}{h\nu(1 - \cos\theta) + m} \end{aligned}$$

W granicy  $h\nu \ll m$ :

• energia elektronu:

$$E \approx m$$

• pęd rozproszonego elektronu:

$$p \approx h\nu \sqrt{2(1 - \cos\theta)}$$

# Efekt Comptona

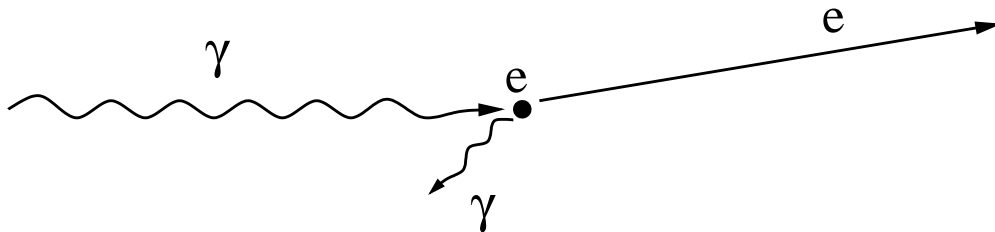
## Duże energie fotonów

W granicy dużych energii fotonu  $h\nu \gg m$  (przyjmując  $\cos \theta \neq 1$ , czyli  $\theta \neq 0$ )

$$h\nu' \approx \frac{m}{1 - \cos \theta} \rightarrow 0$$

$$E \approx h\nu + m$$

⇒ foton przekazuje **spoczywającemu** elektronowi praktycznie całą swoją energię



Odpowiada to klasycznemu zderzeniu ciał o równych masach (zakładając zderzenie centralne i elastyczne)

Dla  $h\nu \gg m$  masę elektronu można pominąć - **elektron**, tak jak foton, można traktować jako **cząstkę bezmasową**.

# Efekt Comptona

## Rozpraszanie do tyłu

W rozpraszaniu na spoczywającym elektronie najniższą energię będzie miał foton rozproszony “do tyłu” ( $\cos \theta = -1$ ):

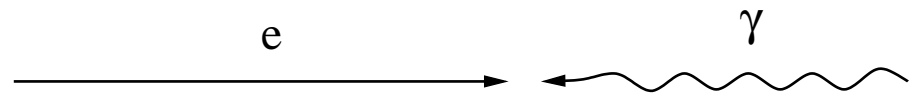
$$h\nu' = \frac{h\nu \cdot m}{2h\nu + m} < h\nu$$

To, że foton zawsze traci energię związane jest jednak z wyborem układu odniesienia!

(układ związany z elektronem)

## Rozpraszanie na wiązce elektronów

Możemy jednak rozważyć rozpraszanie fotonów o energii  $h\nu$  na przeciwbieżnej wiązce elektronów o energii  $E_e \gg m$ .



Transformacja Lorentza do układu elektronu:

$$\gamma = \frac{E_e}{m}$$
$$\beta \approx 1$$

Energia fotonu w układzie elektronu:

$$h\nu^* = \gamma(1 + \beta)h\nu$$
$$\approx \frac{2E_e}{m} \cdot h\nu \gg h\nu$$

# Photon Collider

## Rozpraszanie na wiązce elektronów

Przyjmijmy, że foton rozprasza się “do tyłu” ( $\cos \theta = -1$ ). Energia rozproszonego fotonu w układzie elektronu:

$$h\nu^{*'} = \frac{h\nu^* \cdot m}{2h\nu^* + m} \\ \approx \frac{2E_e h\nu \cdot m}{4E_e h\nu + m^2}$$

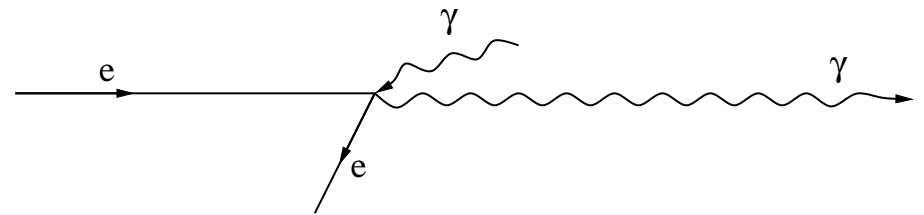
Wracając do układu laboratoryjnego: (transformacja taka sama, bo pęd foton zmienił kierunek)

$$h\nu' \approx \frac{2E_e}{m} \cdot h\nu^{*'}$$

Otrzymujemy:

$$h\nu' \approx E_e \cdot \frac{4E_e h\nu}{4E_e h\nu + m^2}$$

Wysokie energia wiązki,  $4E_e h\nu \gg m^2$   
 $\Rightarrow$  elektron może przekazać fotonowi **większość swojej energii.**



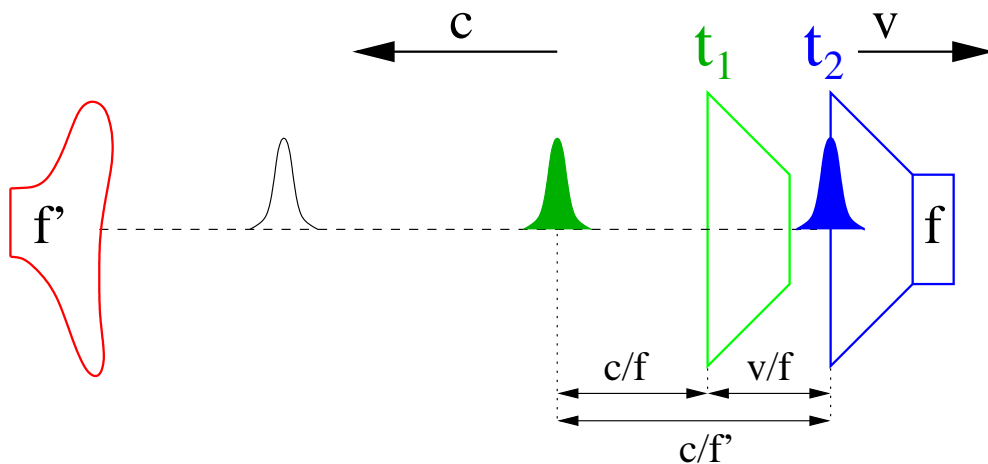
Przykład: dla  $E_e = 250\text{GeV}$  i  $h\nu = 1\text{eV}$   
 $h\nu' \approx 200\text{GeV}$

# Efekt Dopplera

## Przypadek klasyczny (I)

źródło dźwięku o częstotliwości  $\nu$  poruszające się z prędkością  $v$  względem ośrodka w którym prędkość dźwięku wynosi  $c$ .

Dla uproszczenia: krótkie impulsy wysyłane co  $\Delta t = 1/\nu$ :



$t_1$  - wysłanie pierwszego impulsu

$t_2$  - wysłanie drugiego impulsu

odległość między impulsami:

$$\frac{c}{\nu'} = \lambda' = \frac{c}{\nu} + \frac{v}{\nu}$$

ruch impulsu                      ruch źródła

Częstość dźwięku i **długość fali**

mierzona przez obserwatora nieruchomego względem ośrodka:

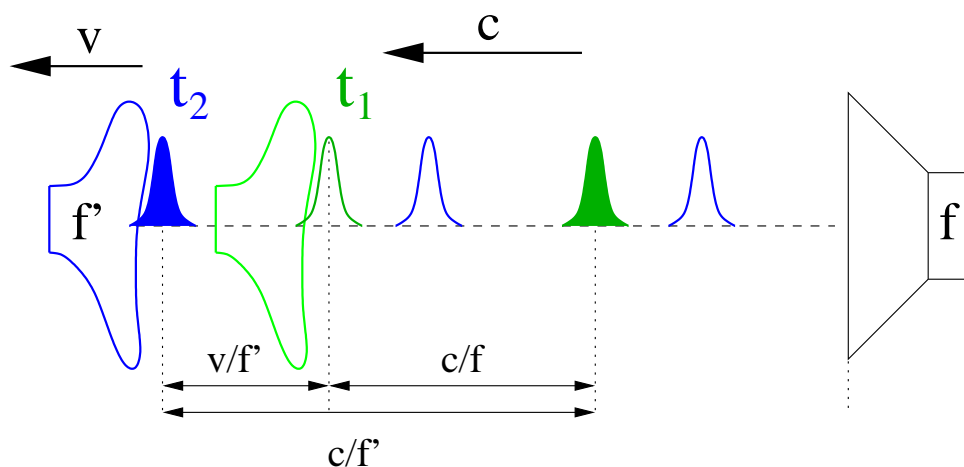
$$\lambda' = \lambda \left( 1 + \frac{v}{c} \right) \qquad \nu' = \frac{\nu}{1 + \frac{v}{c}}$$



# Efekt Dopplera

## Przypadek klasyczny (II)

obserwator porusza się z prędkością  $v$  względem ośrodka i źródła dźwięku



aby dogonić obserwatora impuls musi pokonać odległość

$$\frac{c}{\nu'} = \lambda' = \frac{c}{\nu} + \frac{v}{\nu'}$$

odległość początkowa                      ruch obserwatora

Mierzona **częstość** i **długość fali**:

$$\nu' = \nu \left( 1 - \frac{v}{c} \right) \qquad \lambda' = \frac{\lambda}{1 - \frac{v}{c}}$$

W klasycznym efekcie Dopplera zmiana częstości zależy nie tylko od względnej **prędkości źródła** i **obserwatora** ale i ruchu względem **ośrodka**.

# Efekt Dopplera

## Przypadek relatywistyczny

Jeśli źródło i/lub obserwator poruszają się z dużymi prędkościami

⇒ należy uwzględnić dylatację czasu

$$\gamma = \frac{1}{\sqrt{1 - \beta^2}} = \frac{1}{\sqrt{(1 - \beta)(1 + \beta)}}$$

## Ruchome źródło

Poruszające się źródło drga z częstotliwością  $\gamma$  razy mniejszą:

$$\nu' = \frac{\nu/\gamma}{1 + \beta} = \nu \sqrt{\frac{1 - \beta}{1 + \beta}}$$

## Ruchomy obserwator

Dla poruszającego się obserwatora czas biegnie wolniej, mierzona częstota jest  $\gamma$  razy większa:

$$\nu' = \gamma \nu (1 - \beta) = \nu \sqrt{\frac{1 - \beta}{1 + \beta}}$$

⇒ Pełna symetria !

# Efekt Dopplera

## Ruch źródła

Wysłanie impulsu w układzie  $O'$ :

$$A : (T, 0, 0, 0)$$

W układzie  $O$ : ( $c = 1$ )

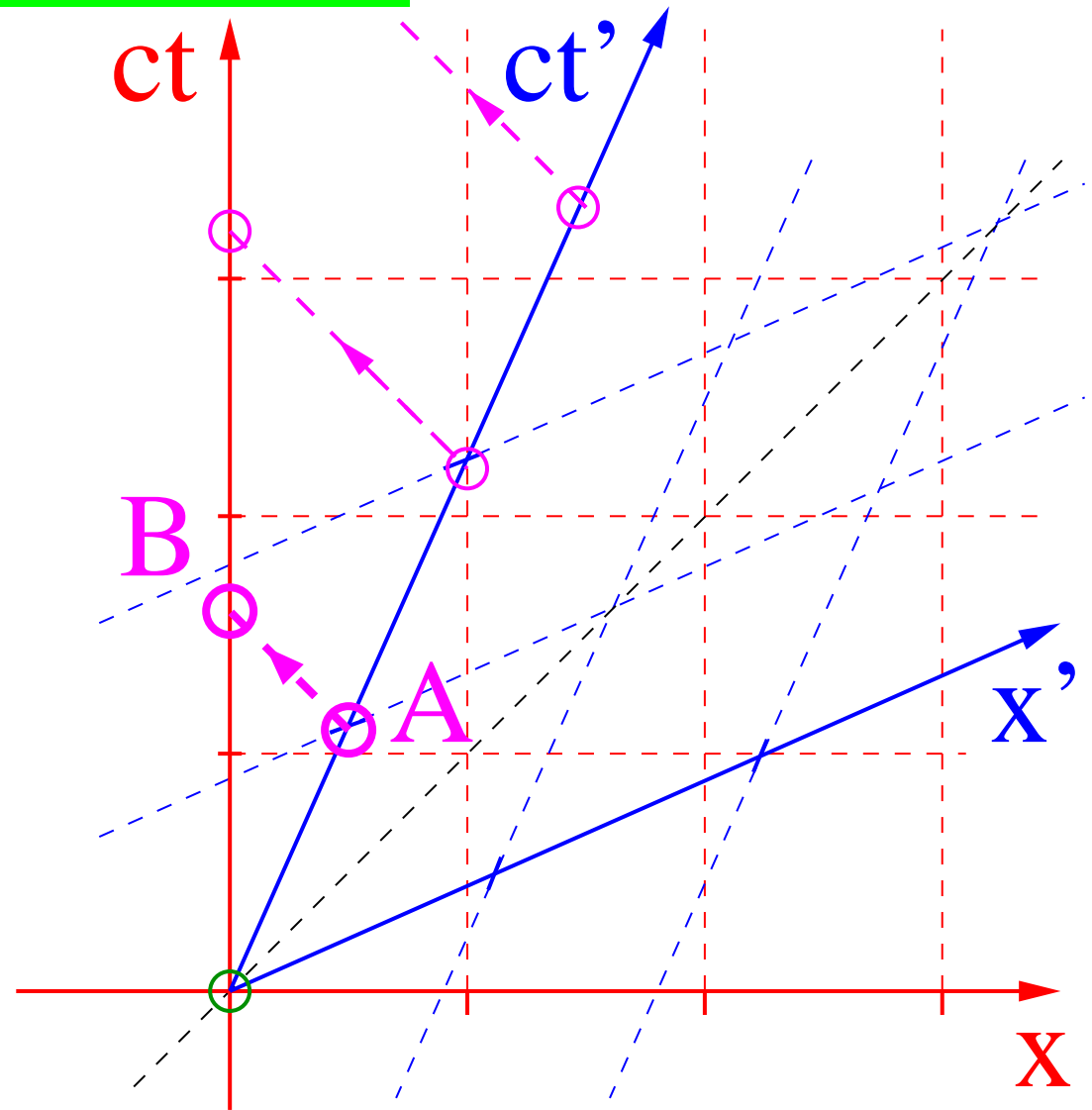
$$A : (\gamma T, \beta\gamma T, 0, 0)$$

Na pokonanie odległości  $\beta\gamma T$  światło potrzebuje  $\beta\gamma T$  czasu

⇒ dotarcie impulsu światła do obserwatora  $O$ :

$$B : (\gamma T + \beta\gamma T, 0, 0, 0)$$

$$T' = \gamma(1 + \beta) T = \sqrt{\frac{1 + \beta}{1 - \beta}} T$$



# Efekt Dopplera

Wysłanie impulsu w układzie  $O$ :

$$A : (T, 0, 0, 0)$$

Dotarcie impulsu do obserwatora  $O'$ :

$$B : (T + \Delta T, \Delta T, 0, 0)$$

Prędkość  $O'$  względem  $O$ :

$$\beta = \frac{\Delta T}{T + \Delta T} \Rightarrow \Delta T = \frac{\beta}{1 - \beta} T$$

Współrzędne dotarcia impulsu w  $O$ :

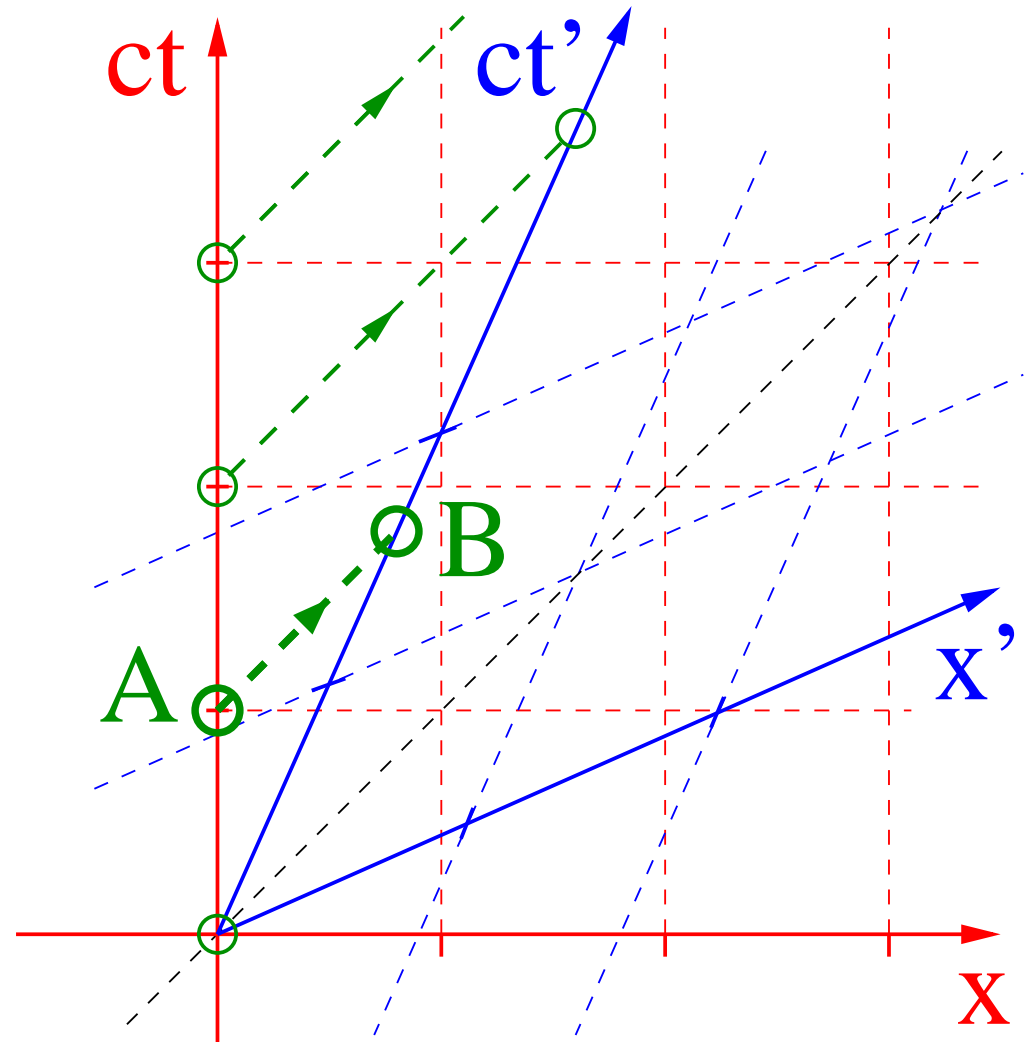
$$B : \left( \frac{T}{1 - \beta}, \frac{\beta T}{1 - \beta}, 0, 0 \right)$$

$\Rightarrow$  według  $O'$  (dylatacja czasu)

$$B : \left( \frac{T}{\gamma(1 - \beta)}, 0, 0, 0 \right)$$

$$\Rightarrow T' = \frac{T}{\gamma(1 - \beta)} = \sqrt{\frac{1 + \beta}{1 - \beta}} T$$

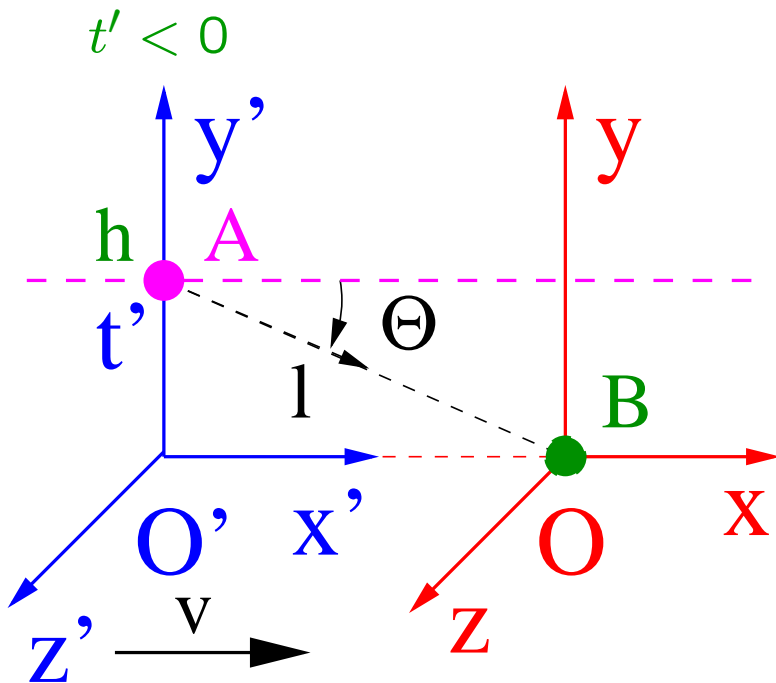
## Ruch obserwatora



# Efekt Dopplera

## Przypadek ogólny

Źródło światła przelatuje w odległości  $h$  od obserwatora:



mierzona emitowana  $\tilde{\lambda} = \frac{dt}{dt'} = \gamma + \frac{\gamma^2 \beta^2 t'}{\sqrt{(\gamma \beta t')^2 + h^2}} = \gamma \left( 1 + \beta \frac{x}{l} \right) = \gamma (1 - \beta \cos \Theta)$

$\Theta$  - rejestrowany w O kąt lotu fotonu,  $(\pi - \Theta)$  - kierunek obserwacji (!)

$t$  - czas wysłania impulsu mierzony w układzie O':

$$A : (t', 0, h, 0)$$

Współrzędne tego zdarzenia w układzie O:

$$A : (\gamma t', \gamma \beta t', h, 0)$$

$\Rightarrow$  czas dotarcia impulsu do obserwatora O (B):

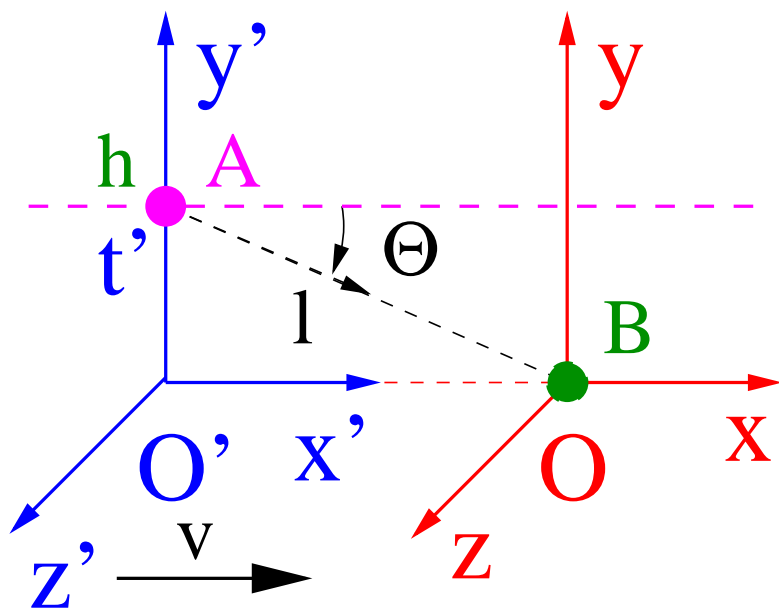
$$t = \gamma t' + l = \gamma t' + \sqrt{(\gamma \beta t')^2 + h^2}$$

Różnica  $dt$  między czasami dotarcia dwóch impulsów wysłanych w odstępie czasu  $dt'$

$\Rightarrow$  współczynnik przesunięcia dopplerowskiego:

# Efekt Dopplera

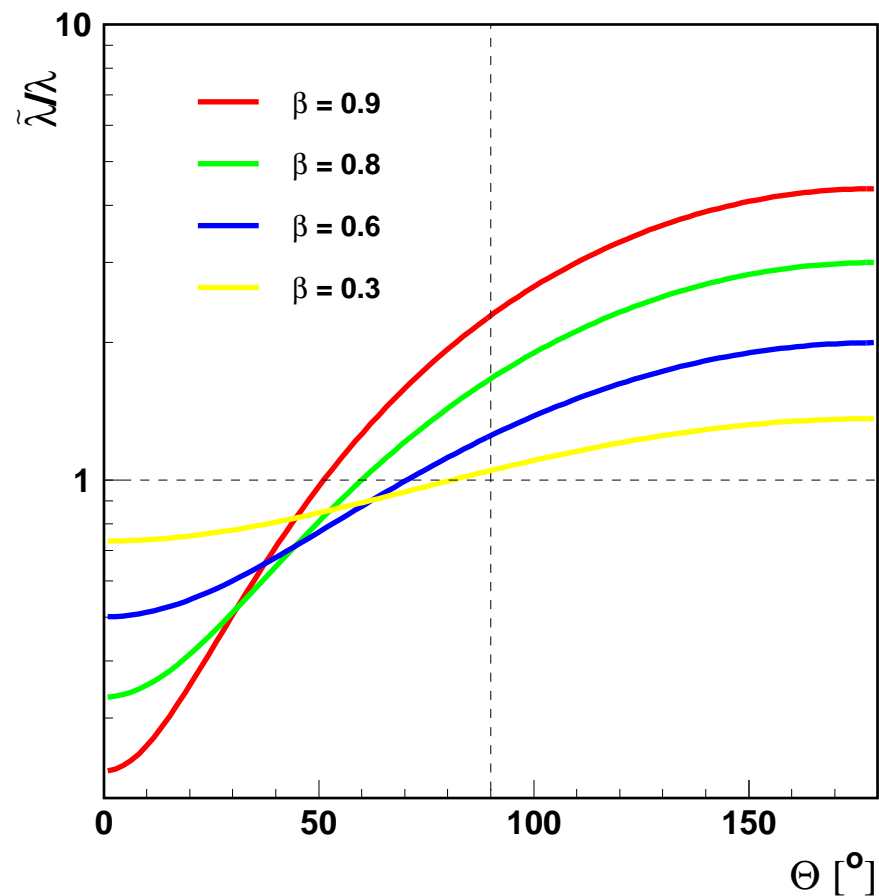
## Przypadek ogólny



Przesunięcie długości fali:

mierzona  $\tilde{\lambda}$   
emitowana  $\lambda$

$$\frac{\tilde{\lambda}}{\lambda} = \frac{\tilde{T}}{T} = \gamma(1 - \beta \cos \Theta)$$



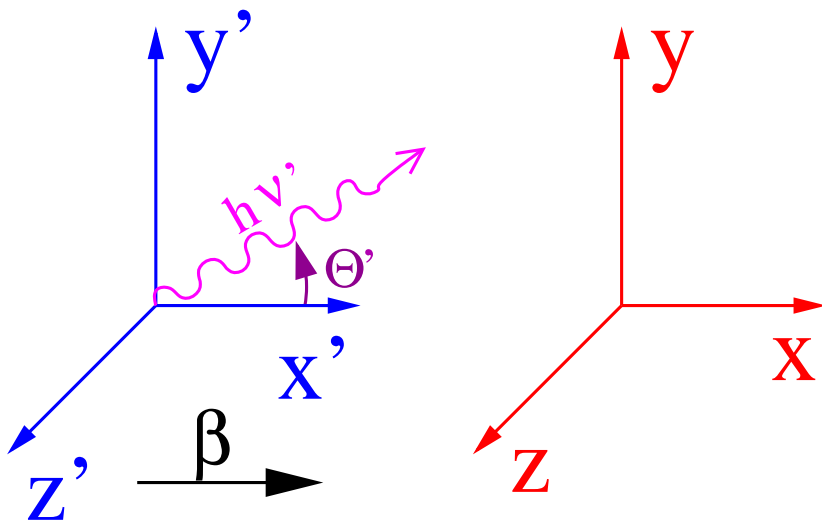
Zmiana częstotliwości także dla  $\Theta = 90^\circ$  !!!

Klasycznie nie ma zmiany częstotliwości...

# Efekt Dopplera

## Alternatywne podejście

Wyrażenia na **relatywistyczny efekt Dopplera (dla światła)** wynikają wprost z **transformacji Lorentza** !



Foton o energii  $E' = h\nu'$  emitowany jest pod kątem  $\theta'$  w układzie  $O'$ .

$$p'_x = E' \cos \theta' \quad p'_y = E' \sin \theta'$$

W układzie  $O$  z transformacji Lorentza:

$$\begin{aligned} h\nu = E &= \gamma E' + \beta \gamma p'_x \\ &= h\nu' \gamma (1 + \beta \cos \theta') \end{aligned}$$

Dla  $\theta' = 0$  mamy:

$$\nu = \nu' \frac{1 + \beta}{\sqrt{1 - \beta^2}} = \nu' \sqrt{\frac{1 + \beta}{1 - \beta}}$$

częstość (energia) rośnie

Dla  $\theta' = \pi$  mamy:

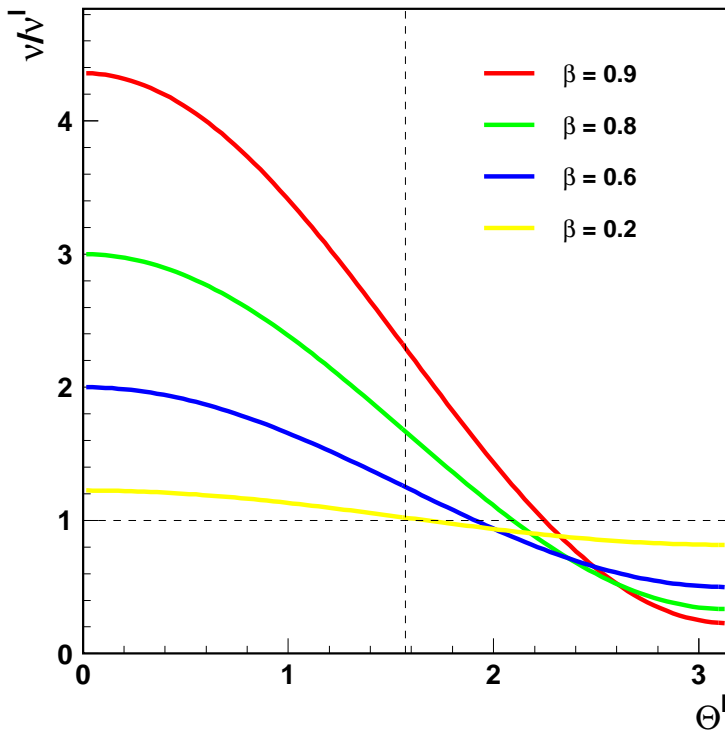
$$\nu = \nu' \frac{1 - \beta}{\sqrt{1 - \beta^2}} = \nu' \sqrt{\frac{1 - \beta}{1 + \beta}}$$

częstość (energia) maleje

# Efekt Dopplera

## Rozkłady kątowe

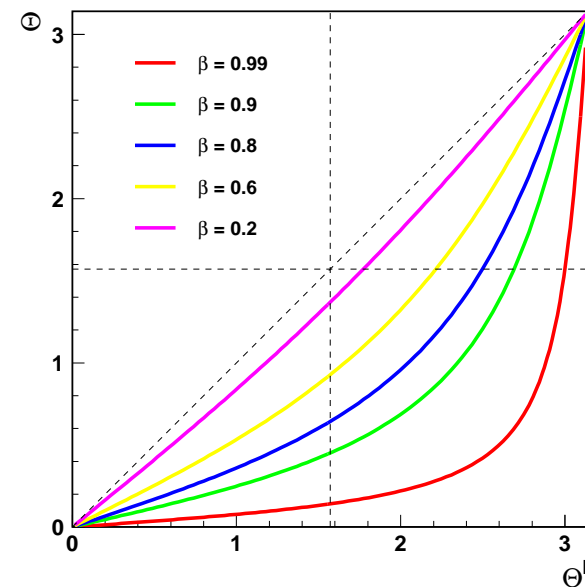
Zależność częstości od kąta **emisji**



Dla  $\theta' = \frac{\pi}{2} \Rightarrow \nu = \gamma \nu' > \nu'$   
 poprzeczny efekt Dopplera

Obserwowany kąt lotu fotonu:

$$\cos \theta = \frac{p_x}{E} = \frac{\beta + \cos \theta'}{1 + \beta \cos \theta'}$$



Dla  $\theta' = \frac{\pi}{2} \Rightarrow \cos \theta = \beta \Rightarrow \theta < \frac{\pi}{2}$

Izotropowe promieniowanie szybko poruszającego się ciała jest skolimowane w kierunku ruchu...



# Efekt Dopplera

## Rozkłady kątowe

Mamy:

$$\nu = \nu' \gamma (1 + \beta \cos \theta')$$

Możemy jednak zastosować odwrotną transformację Lorentza ( $\beta \Leftrightarrow -\beta$ )

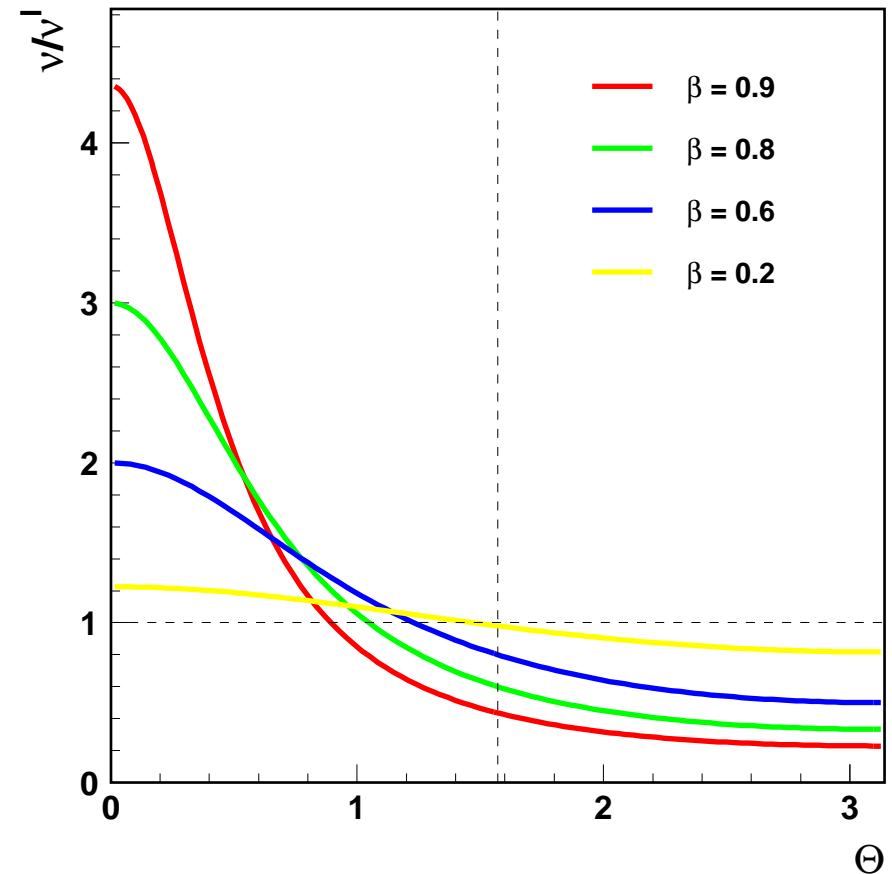
$\Rightarrow$  energia w funkcji kąta **detekcji**:

$$\nu = \frac{\nu'}{\gamma (1 - \beta \cos \theta)}$$

Fotony rejestrowane pod kątem  $\theta = \frac{\pi}{2}$  mają

częstość:  $\nu = \frac{\nu'}{\gamma} < \nu'$  !!!

Zależność częstości od kąta **detekcji**



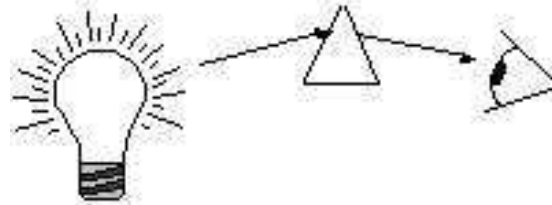
# Efekt Dopplera

Efekt Dopplera obserwowany w warunkach laboratoryjnych dla dla fal elektromagnetycznych jest na ogół bardzo niewielki (z wyjątkiem akceleratorów cząstek i ciężkich jonów).

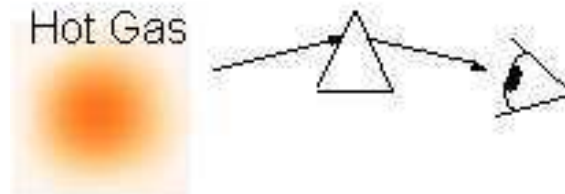
Duże efekty widoczne w obserwacjach astronomicznych

## Linie emisyjne

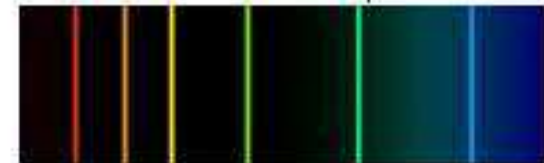
Światło emitowane przez wzbudzone atomy.



Continuum Spectrum

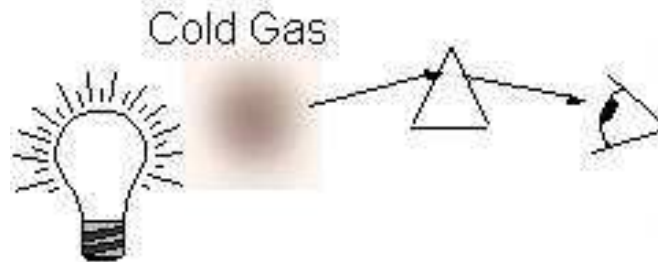


Emission Line Spectrum

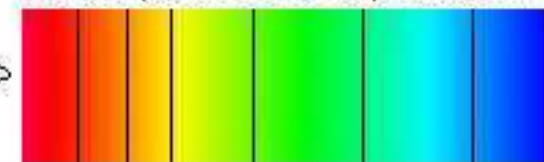


## Linie absorpcyjne

Widoczne w świetle przechodzącym przez gaz.



Absorption Line Spectrum

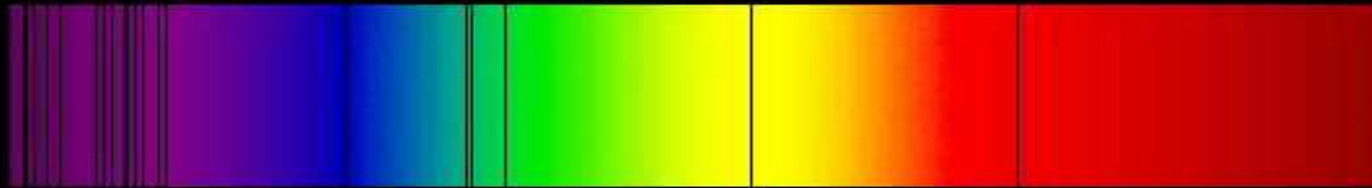


W obu przypadkach pozycja linii jest ściśle określona (dla danego atomu)

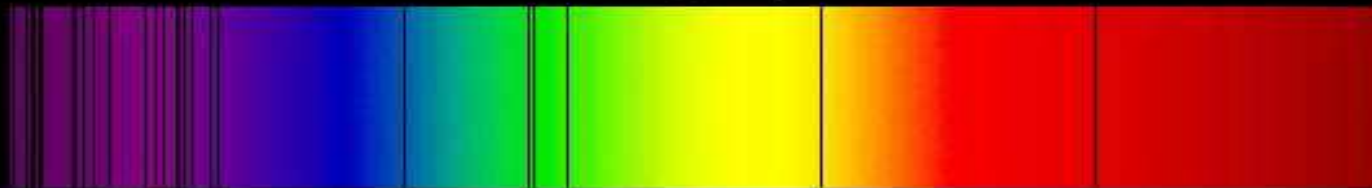
# Efekt Dopplera

Mierząc linie absorpcyjne w widmie galaktyk możemy wnioskować o ich ruchu i **wyznaczyć ich prędkość względem nas**

Absorption Lines from our Sun



Absorption Lines from a supercluster of galaxies, BAS11  
 $v = 0.07 c$ ,  $d = 1$  billion light years



# Prawo Hubble'a

Dzięki efektowi Dopplera wiemy, że **Wszechświat się rozszerza**.

W 1929 roku **Edwin Hubble** jako pierwszy powiązał obserwowane prędkości mgławic z ich odległością od Ziemi.

Zauważył on, że **prędkość** 'ucieczki' **rośnie z odległością** od Ziemi:

$$v = H \cdot r$$

$r$  - odległość,  $H$  - stała Hubble'a

Obecne pomiary:  $H \sim 72 \text{ km/s/Mpc}$

$$1 \text{ Mpc} \approx 3 \cdot 10^{22} \text{ m}$$

